

となる。ここに、 $\bar{s}_{21} = \int_{d_2}^{2d_2} s f(s) / F(2d_2) ds$, ($2d_2$ 以下の車頭間隔の平均値)である。

4) $2d_2$ より小さい車頭間隔と隣りあったとき。確率 $P(\beta) = \int_{d_2}^{2d_2} \frac{s}{2d_2} f(s) ds$ で生じ、

$$\theta(\beta) = \left\{ \frac{1}{2} \bar{s}_{21} + \bar{s}_{21} (e^{-\lambda d_2} - 1) + d_2 \right\} / (V - v) \text{ である。}$$

以上の結果をまとめると、平均追従時間 θ は次式のようになる。

$$\theta = \int_0^1 P(\beta) \theta(\beta) = \left[2d_2 (1 - e^{-\lambda d_2}) + \frac{(1 + \lambda d_2) - e^{-\lambda d_2} (1 + 2\lambda d_2)}{(1 + \lambda d_2) A (1 - e^{-\lambda d_2})} \cdot \frac{Z - e^{-\lambda d_2}}{2e^{-\lambda d_2}} \right] / (V - v) \quad \text{--- (2)}$$

(3) 平均追越車線走行時間 τ --- 直ちに追越車線へ出られる場合は、 $\tau(0) = \{d_2 + (\beta - 1) \times \bar{s}_{11} + d_1\} / (V - v)$ であり、追従の後に出られる場合は $\tau(1) = \{d_1 + (\beta - 1) \bar{s}_{11} + d_1\} / (V - v)$ である。

こゝに、 $\bar{s}_{11} = \int_{d_1}^{d_1 + d_2 + d} s g(s) / G(d_1 + d_2 + d) ds$, ($d_1 + d_2 + d$ 以下の車頭間隔の平均値)である。したがって、全体の平均値では次式のように表わされる。

$$\tau = \tau(0)P(0) + \tau(1)\{1 - P(0)\} = \left[\{d_1 + (\beta - 1) \bar{s}_{11} + d_1\} + P(0) \cdot (d_2 - d_1) \right] / (V - v) \quad \text{--- (3)}$$

3. 計算例

結局、(2), (3) 式を連立させて θ, τ を求めれば (1) 式より γ を求めることができる (解析的には解けぬ)。

$v = 60, V = 80 \text{ km/時}$; $d_1 = 0.03, d_2 = 0.04, d = 0.1 \text{ km}$ の場合の γ, λ に対する γ の値を図-1に示す。 λ が大きくなると $\gamma > 50\%$ となることが示されている。図-2に観測データとの比較を示す。 $d = 0.2 \text{ km}$ 程度 (密度 V で約10秒) にとれば観測結果によく適合しているようである。また、 $\lambda = 200$ 台/5分を越え、 γ は逆に減少する傾向がみられるが、これは追越車線に出にくくなり、追従車の増加量が相対的に大きくなるからであると考えられる。

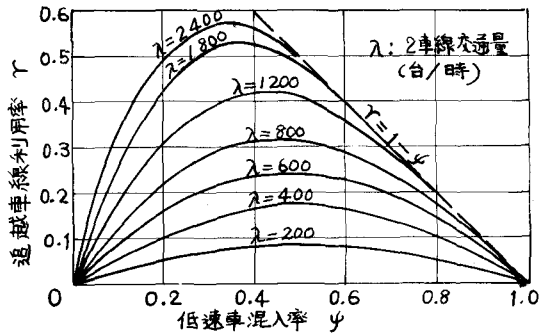


図-1 追越車線の利用率

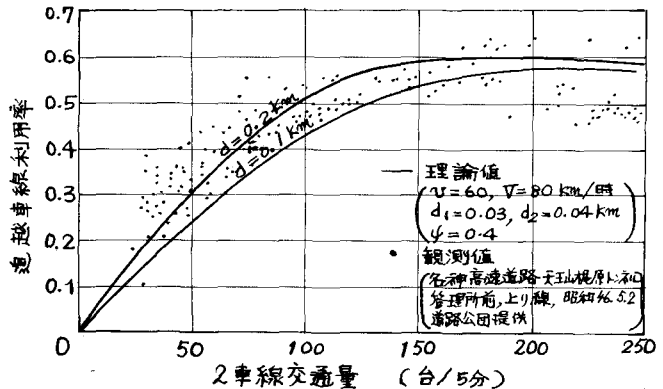


図-2 交通量に対する追越車線利用率の変化

4. むすび

本モデルでは、一度追越車線へ出た車が走行車線へ戻る条件として、走行に必要な最小の車頭間隔の他に、戻った場合にある一定時間以上連続して高速走行ができる距離 d があるという条件をつけ加えた。 $d = 0$ の場合には γ が 50% を超過する現象をうまく説明できなかったが、このモデルで $d = 0.2 \text{ km}$ 程度にとれば、観測データによく適合するという結果が得られた。

(参考文献) 1) 佐々木綱, 井上短之: 1方向2車線道路における交通量の車線分布について, 土木学会第26回学術講演会講演集, 第4部, 昭和46年10月, pp.165-166